

# Анализ проблемы солнечного состава в контексте расширений Стандартной модели физики частиц

Антон Соколов

научный руководитель: д. ф.-м. н. чл.-к. РАН С.В.Троицкий

Московский Государственный Университет  
им. М. В. Ломоносова  
Физический факультет

24 мая 2019

# Стандартная солнечная модель

вход:  $\tau_\odot, M_\odot, L_\odot, R_\odot, (Z/X)_\odot, \kappa(\rho, T, X_i), \epsilon(\rho, T, X_i)$

фит:  $Y_{ini}, Z_{ini}, \alpha_{MLT}$

$$\left\{ \begin{array}{ll} \frac{dP}{dr} = -\frac{GM\rho}{r^2}, & \triangleright \text{гидростатика} \\ \frac{dM}{dr} = 4\pi r^2 \rho, & \triangleright \text{непрерывность} \\ \frac{dL}{dr} = 4\pi r^2 \rho (\epsilon_{\text{nuc}} - \epsilon_\nu), & \triangleright \text{источники энергии} \\ \frac{dT}{dr} = \begin{cases} -\frac{3\kappa\rho L}{64\pi r^2 \sigma T^3}, & \nabla_{rad} < \nabla_{ad} \\ \nabla_{ad} \cdot \frac{T}{P} \frac{dP}{dr}, & \nabla_{rad} \geq \nabla_{ad} \end{cases} & \triangleright \text{перенос энергии} \\ P = \frac{\rho T}{\mu m_H} & \triangleright \text{уравнение состояния} \end{array} \right.$$

выход:  $T(r), P(r), \rho(r), M(r), L(r), X_i(r), \Phi_{\nu,i}$

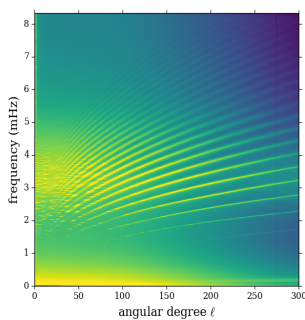
## Физика Солнца в XXI веке

Физика Солнца – быстро развивающаяся область:

- Солнечные нейтрино
- Неравновесные 3D модели атмосферы → химсостав AGSS09
- Функция непрозрачности: расчёты и эксперимент
- Гелиосейсмология: новые данные

## Гелиосейсмология

Спектр колебаний Солнца позволяет определить:

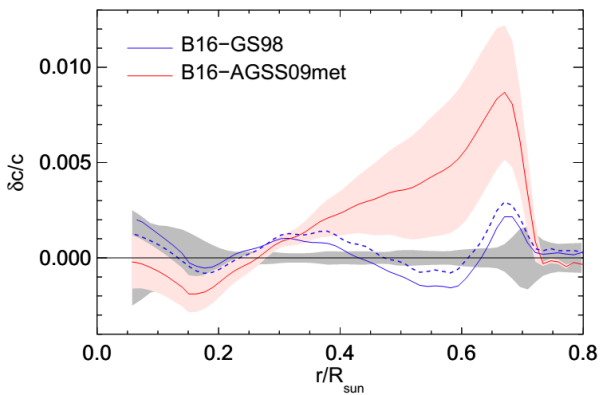


- профиль скорости звука
- содержание гелия на поверхности
- глубину конвективной зоны
- профиль плотности
- дифференциальное вращение

$$\text{NB! } L/M^3 \sim \mu^4/\kappa$$

## Проблема солнечного состава

Гелиосейсмологический профиль скорости звука не соответствует вычислениям в Стандартной солнечной модели:



## Недиффузионный теплообмен

Излучение частиц и поглощение энергии → изменение  $\epsilon(m)$ .

$$I(m) = \xi_1 \int_0^m \left( \epsilon_{\text{nuc}}(\bar{m}) - \epsilon_\nu(\bar{m}) + \sum_i \epsilon_i(\bar{m}) \right) d\bar{m}, \quad I(1) = 1$$

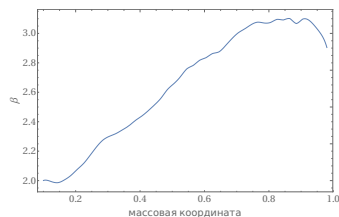
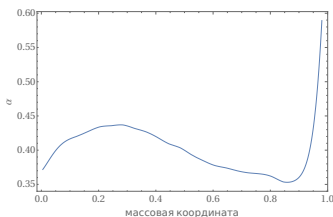
$$\sum_i \epsilon_i = \sum_i \tilde{\epsilon}_i + \bar{\epsilon}, \quad \bar{\epsilon} \equiv \int_0^1 dm \sum_i \epsilon_i$$

Эффекты:

- $\sum_i \tilde{\epsilon}_i \quad \rightarrow \quad \text{изменение формы } I(m)$
- $\bar{\epsilon} \quad \rightarrow \quad \text{изменение скорости горения } \epsilon_{\text{nuc}} - \epsilon_\nu$

# Две модели: часть I

- переход к массовой координате
- $p' \propto -m/r^4$ ,  $t' \propto -\kappa l/(r^4 t^3)$   $\Rightarrow l \propto m t^3 t' / (\kappa p')$
- $\kappa \propto \rho^\alpha t^{-\beta}$ , таблицы OPAL, состав AGSS09



- две модели: Стандартная и «исправленная»

$$\delta\rho/\rho, \delta c_s/c_s, \delta\mu/\mu, \delta t/t, \delta r/r, \delta p'/p' \ll 1$$

$$\frac{\delta l}{l} = 2 \cdot (3 + \beta) \frac{\delta c_s}{c_s} - (\alpha + 1) \frac{\delta \rho}{\rho} + (4 + \beta) \frac{\delta \mu}{\mu} + \frac{c_s}{c'_s} \left[ \left( \frac{\delta c_s}{c_s} \right)' + \frac{1}{2} \left( \frac{\delta \mu}{\mu} \right)' \right] - \left[ \frac{p}{p'} \left( \frac{\delta \rho}{\rho} \right)' + 2 \frac{p}{p'} \left( \frac{\delta c_s}{c_s} \right)' \right]$$

## Две модели: часть II

- две модели: Стандартная и с увеличенной непрозрачностью (Villante 2015)
- изменение  $I(m)$  теперь только в ядре:  $\bar{\delta}I(m) = \bar{\delta}I_{\text{яд}}(m)$ ,  
 $\bar{\delta}I_{\text{яд}}/I_{\text{яд}} \ll 1$
- $\kappa \propto mt^3t'/(lp') \implies$

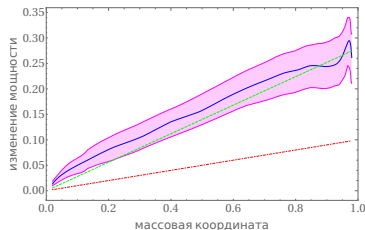
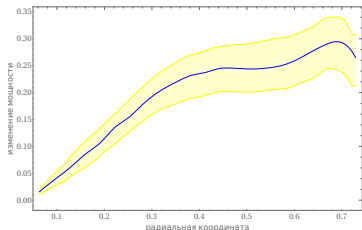
$$\frac{\bar{\delta}\kappa}{\kappa} = 3 \frac{\bar{\delta}t}{t} + \frac{\bar{\delta}t'}{t'} - \frac{\bar{\delta}p'}{p'} - \left( \frac{\bar{\delta}I}{I} \right)_{\text{яд}}$$

- гелиосейсмология:  $\delta c_s = \bar{\delta}c_s$  и  $\delta\rho = \bar{\delta}\rho \Rightarrow \delta p' = \bar{\delta}p'$ ,  
 а также

$$\frac{\delta\mu}{\mu} = \frac{\bar{\delta}\mu}{\mu} + \left( \frac{\delta\mu}{\mu} \right)_{\text{яд}}, \quad \frac{\bar{\delta}\mu}{\mu} = \frac{5\delta Y_{\text{пов}}}{8 - 5Y}$$

## Профиль мощности светового потока

$$\begin{aligned}
 (\delta I)_{\tilde{\epsilon}} = I \cdot \left( \frac{\bar{\kappa}}{\kappa} + 2\beta \frac{\delta c_s}{c_s} - \alpha \frac{\delta \rho}{\rho} + \beta \frac{\bar{\mu}}{\mu} + (4 + \beta) \cdot \left( \frac{\delta \mu}{\mu} \right)_{\text{яд}} + \right. \\
 \left. \frac{c_s}{2 c'_s} \left( \frac{\delta \mu}{\mu} \right)'_{\text{яд}} + \left( \frac{\delta I - \bar{\delta} I}{I} \right)_{\text{яд}} \right)
 \end{aligned}$$



# Модель

Рассмотрим векторное расширение СМ с кинетическим и массовым смешиванием:

$$L_0 = -\frac{1}{4} F_{1\mu\nu} F_1^{\mu\nu} - \frac{1}{4} F_{2\mu\nu} F_2^{\mu\nu} - \frac{\delta}{2} F_{1\mu\nu} F_2^{\mu\nu},$$

$$L_1 = J'_\mu A_1^\mu + J_\mu A_2^\mu,$$

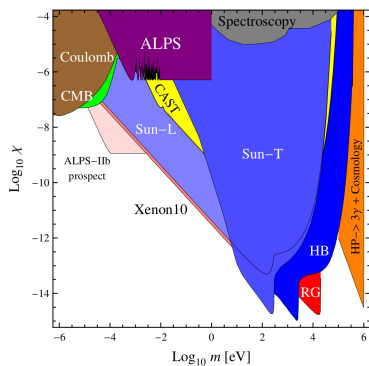
$$L_{Mass} = -\frac{1}{2} M_1^2 A_{1\mu} A_1^\mu - \frac{1}{2} M_2^2 A_{2\mu} A_2^\mu - M_1 M_2 A_{1\mu} A_2^\mu.$$

После диагонализации получим взаимодействие:

$$L_1 = \frac{1}{\sqrt{1 - 2\delta\epsilon + \epsilon^2}} \left( \frac{\epsilon - \delta}{\sqrt{1 - \delta^2}} J_\mu + \frac{1 - \epsilon\delta}{\sqrt{1 - \delta^2}} J'_\mu \right) A_M^\mu + \\ \frac{1}{\sqrt{1 - 2\delta\epsilon + \epsilon^2}} (J_\mu - \epsilon J'_\mu) A_\gamma^\mu.$$

# Рождение скрытых фотонов

граница зоны лучистого переноса  $\rightarrow M = 12 \text{ эВ}$



- излучает сферу
- МОЩНОСТЬ:

$$I_{\gamma'} = 0.26 \cdot \left( \frac{\delta}{1.5 \cdot 10^{-13}} \right)^2$$

$M \gg m_c \rightarrow$  мгновенный распад на милли заряды

## Захват магнитным полем

- захват при  $\omega_c \sim \text{кэВ}$ :

$$r_L = \frac{\sqrt{\omega_c^2 - m_c^2}}{\epsilon e' B} = 0.01 \left( \frac{\omega_c}{\text{кэВ}} \right) \left( \frac{B}{7 \text{ МГц}} \right)^{-1} \left( \frac{\epsilon}{2 \cdot 10^{-14}} \right)^{-1} \left( \frac{\alpha'}{10^{-3} \alpha} \right)^{-1/2}$$

- закон Ферраро и гелиосейсмология  $\rightarrow$  конфайнмент поля
- ограничение на  $\alpha'$ :

$$M_{th} = \frac{\omega'_{pl}}{\sqrt{\gamma_c}} = \sqrt{\frac{4\pi\alpha' \cdot 2n_c}{\gamma_c m_c}} \simeq \sqrt{1.5\alpha'} T_c, \quad M_{th} \ll M \Rightarrow \alpha' \ll 0.7 \left( \frac{M}{T_c} \right)^2$$

$$\alpha' \ll 10^{-4} \left( \frac{T_c}{\text{кэВ}} \right)^{-2}$$

## Подогрев солнечной плазмы

- миллизаряды + электроны через СФ:  $\sigma \sim \alpha \alpha' \delta^2$
- передача энергии:  $\Delta \omega_c = \frac{\omega_c}{m_e} \cdot (\xi T - \omega_c) \cdot (1 - \cos \theta)$
- сечение:

$$d\sigma = \frac{\delta^2 e^2 e'^2}{8\pi \omega_c^2} \cdot \frac{(1 - x/2) dx}{(x + \psi)^2}, \quad x = 1 - \cos \theta, \quad \psi = M^2 / (2\omega_c^2)$$

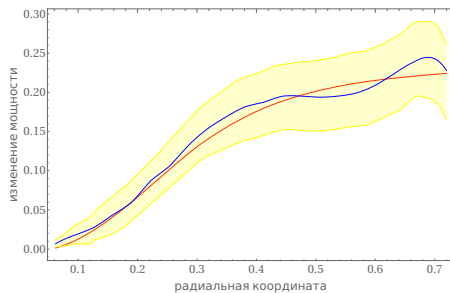
- подогрев:

$$Q = 2n_e n_c \left\langle \int \Delta \omega_c d\sigma \right\rangle = \frac{\delta^2 e^2 e'^2 n_e n_c}{4\pi m_e} \cdot \left( \frac{T}{T_c} - 1 \right) \cdot K \left( \frac{4T_c^2}{M^2} \right)$$

$$K(a) \equiv \frac{2}{3\zeta(3)} \int_0^\infty dx \frac{x^2 (\ln ax^2 - 1)}{e^x + 1}$$

## Изменение мощности светового потока

$$\delta I_c(r) = -\frac{4\pi R_\odot^3}{L_\odot} \cdot \int_0^r Q(x) x^2 dx$$



$$T_c = 4 \text{ кэВ}, \quad \alpha' = 6.5 \cdot 10^{-7}, \quad C = -0.05$$

**Спасибо за внимание!**

## Перемасштабирование непрозрачности

Аналогия с решением через тёмную материю:  $C = -0.26$

